

## КАЛЦИЕВ ФИЛОМАНГАНАТ (РАНСИЕИТ) ОТ ЖЕЛЕЗОРУДНОТО НАХОДИЩЕ КРЕМИКОВЦИ

**Маргарита Василева, Калин Русков**

Минно-геоложки университет „Св. Иван Рилски”, София 1700  
E-mail: marvas@mgu.bg; rouskov@mgu.bg

**РЕЗЮМЕ.** Наличие на Ca-филоманганат (рансиейт) е установено в лимонитите от железорудното находище Кремиковци и сред вместващите орудяването карбонатни скали. Рансиейт е наблюдаван в тясна асоциация с Fe и Mn оксиди и хидроксиди (гьотит, лепидокрокит, вторичен хематит, романешит, фази от изоструктурната серия криптомелан-холандит-коронадит, тодорокит и др.), супергенен калцит и барит. Проведени са СЕМ и ТЕМ, рудна микроскопия, рентгеноструктурни анализи, количествени рентгеноспектрални микроанализи и ИЧС, за изучаване на морфологичните особености, структурата, химизма и спектроскопските характеристики на рансиета. Праховите рентгенови данни на изследваната фаза съответстват на еталонните (JCPDS 22-718). В някои от анализираните рансиетови образи е установено присъствие на примес от тодорокит. Данните от извършените ЕМРА показват, че основните компоненти в рансиета са представени от Mn и Ca, но се наблюдават известни вариации в съдържанието на Ca. Установяват се и повишени концентрации на Mg и Ba. Регистрираният ИЧС се съгласува добре с публикуваните в литература спекции на рансиет (Potter and Rossman, 1979) и се характеризира с присъствието на една основна ивица на поглъщане при  $440-445 \text{ cm}^{-1}$ , по-слабо изразена ивица при  $505 \text{ cm}^{-1}$  и рамо при  $685 \text{ cm}^{-1}$ . В лимонитите от железорудното находище Кремиковци рансиетът има супергенен произход. Минералът представлява късно образуване и най-вероятно е отложен през постплиоценския окислителен стадий от формирането на зоната на супергенеза.

### CA-PHYLLOMANGANATE (RANCIEITE) FROM THE KREMIKOVTSI IRON DEPOSIT

**Margarita Vassileva, Kalin Ruskov**

University of Mining and Geology “St. Ivan Rilski”, Sofia 1700  
E-mail: marvas@mgu.bg; rouskov@mgu.bg

**ABSTRACT.** Ca-phyllo-manganate (rancieite) was detected in the limonites from the Kremikovtsi iron deposit, as well as within the host carbonate rocks. The mineral was found in an association with Fe and Mn oxides and hydroxides (goethite, lepidocrocite, secondary hematite, romanechite, phases from the isostructural series cryptomelane-hollandite-coronadite, todorokite and other), supergene calcite and barite. The morphology, structural features, chemical composition and spectroscopic characteristic of rancieite were studied by standard techniques including SEM, TEM, reflected light microscopy, XRD, EMPA and IRS. The powder-diffraction data correspond with the standards (JCPDS 22-178). Todorokite impurity phase is found in some of the analysed rancieite samples. Data from EMPA suggest that the main components in rancieite are presented by Mn and Ca, but some variations in the Ca content are observed. Enriched Mg and Ba content is found as well. The IR spectrum corresponds well to the rancieite spectra reported by Potter and Rossman, (1979). It is characterized by the presence of a main absorption band with maxima at  $440 - 445 \text{ cm}^{-1}$ , a secondary band at  $505 \text{ cm}^{-1}$  and a shoulder at  $685 \text{ cm}^{-1}$ . Rancieite is of a secondary origin in the oxidation zone from the Kremikovtsi iron deposit. The mineral is formed at the end of mineralization process and most probably has been precipitated during the post Pliocene oxidation stage of the oxidation zone formation.

### Въведение

Рансиетът е недостатъчно добре изучен хидратиран Ca-Mn оксид със състав, съответстващ на идеализираната формула  $(\text{Ca}, \text{Mn})\text{Mn}_4\text{O}_9 \cdot 3\text{H}_2\text{O}$  (Richmond et al., 1969) или  $\text{Ca}_2\text{Mn}_6^{4+}\text{O}_{14} \cdot 6\text{H}_2\text{O}$  (Чухров и др., 1979). Минералът притежава слоиста структура, аналогична на бирнеситовата, основана на слоеве от съединени по страничните им ребра  $[\text{MnO}_6]$  октаедри, с разположени в междуслоевете катиони и молекули вода (Bardossy and Brindley, 1978; Potter and Rossman, 1979; Чухров и др., 1979; Ertl et al., 2005). Според Чухров и др., (1979), Post and Veblen, (1990) бирнеситовата структура е от халкофанитов тип, но се отличава с присъствието на неподредени ваканции в октаедричните слоеве, вида и позициите на междуслоевите катиони и молекулната вода. Бирнеситовата група минерали, означавани още като филоманганати, според Post (1999) включва

изоструктурните фази бирнесит, рансиет и таканелит, чиито състав може да бъде изразен с общата формула  $(\text{Na}, \text{Ca}, \text{Mn}^{2+})\text{Mn}^{4+}\text{O}_{14} \cdot 2.8\text{H}_2\text{O}$ . В природни условия са установени твърди разтвори на рансиет с таканелит  $(\text{Mn}^{2+}, \text{Ca})\text{Mn}^{4+}\text{O}_{14} \cdot 3\text{H}_2\text{O}$ , а неотдавна в Ю. Корея за пръв път е е открит и Zn-аналог на рансиета – минералът чимооит  $(\text{Zn}, \text{Ca})\text{Mn}^{4+}\text{O}_{14} \cdot 3.85\text{H}_2\text{O}$  (Kim, 1991, 1993, 2002).

Филоманганатите от бирнеситовата група се срещат в окислителните зони на Mn-съдържащи рудни находища, в океанските Fe-Mn конкреции и почвите, най-често под формата на криптокристални до финодисперсни образования, което затруднява изучаването на кристалохимичните им особености. Базалното междуплоскостно разстояние  $d_{001}$  на природните и синтетични фази от тази група е около  $7\text{\AA}$ , но показва известни вариации в зависимост от вида на

междуслоевите катиони и молекулната вода (Чухров и др., 1979; Chukhrov et al., 1980; Kim, 1991, 1993).

През последните десетина години се извършват интензивни изследвания на синтетични филоманганати от бирнеситов тип (включително и на химично и структурно модифицирани), тъй като те представляват микропорести материали, с оглед съвременното им индустритално приложение като йонни и молекулни сита, йонообменници, сорбенти на тежки метали и радиоактивни елементи, катализатори, катоди и др. (Post, 1999; Feng et al., 1999). Синтезирани са 7 $\text{\AA}$  филоманганати от рансиеитов тип, за изучаване приложимостта им като катоди за многократно зареждащи се литиеви батерии, за преносимите микроелектронни устройства (Leroux et al., 1995; Woo et al., 2003). Експерименталните изследвания, проведени от Duff et al. (1999), Bish et al. (2003) показват, че природният рансиеит е много добър селективен сорбент на Ru и има изключително важно значение, като компонент на геологичната среда, подходяща за депониране на високоактивни и дългоживущи радиоактивни отпадъци. Във връзка с изграждането на подземно хранилище за високоактивни отпадъци и отработено ядрено гориво в Yucca Mountain, Невада, САЩ, същите автори изучават вместващите скали, представени от зеолитизирани риолитови туфи, съдържащи незначителни количества от смектити, Fe и Mn оксиди (рансиейт). Те установяват, че за разлика от зеолитите, които са сорбенти на кратко живущите радионуклиди  $^{137}\text{Cs}$  и  $^{90}\text{Sr}$ , присъстващият в туфите рансиеит е селективен сорбент на дългоживущите актиниди и представлява ефективна природна, геологичка бариера, възпрепятстваща миграцията им.

Две находки на рансиеит са установявани в страната ни – в окисителната зона на железорудното находище Кремиковци (Радонова и др., 1967; Василева, Русков, 2006) и в Източното Средногорие, в мanganовата минерализация сред горнокредни вулканогенно-седиментни скали при с. Раклица, Карнобатско (Василева, Банушев, 1994; Banushev, Vassileva, 1994). Според някои автори (Радонова и др., 1967) описаната от Василев и др. (1959) първа находка на рансиеит в България от мanganовите руди във Варненско е недостоверна, за което свидетелствуват приведените рентгенографски и термографски данни на тази фаза.

В находище Кремиковци рансиеитът е наблюдаван в миналото от Радонова и др., (1967) сред празнини и пукнатини в лимонитите. Присъствие на рансиеит и по-често на рансиеит с примеси от тодорокит, бе установено по-късно както сред лимонитите, така и сред вместващите карбонатни скали от находището, сред по-високите хипсометрични нива в експлоатационната карьера на рудника (х-т 604). Лимонитите заемат над 2/3 от обема на находището и са образувани в резултат на супергенното изменение предимно на първичен мангансидерит, и в по-малка степен – на феродоломит-анкерит и сулфиди (Атанасов, 1977; Канурков, 1988). Формирани са през продължителен езогенен етап, включващ два окисителни стадия (пред- и следплиоценски) и един редукционен (плиоценски) стадий. Съставени са главно от Fe и Mn оксиди и хидроксиди - гътит, вторичен хематит, лепидокрокит, романешит, минерали от изоструктурната

серия – криптомелан-холандит-коронадит, пиролузит, манганит, тодорокит и др. В лимонитите присъстват и супергени карбонати, сулфати, сулфиди и др., отложени в субредукционни условия, при заливането на находището от водите на плиоценско езеро.

В настоящата работа се привеждат резултати от проведените изследвания за изучаване на морфологичните, структурните и спектроскопски особености и химизма на рансиеит от находище Кремиковци, с оглед получаване на по-пълна характеристика на минерала. Публикуваните в литературата данни за състава, физичните свойства, термичното поведение, спектроскопски и други особености на тази фаза, в някои случаи са непълни и (или) противоречиви, вследствие нехомогенността на минерала. Чухров и др. (1979) подчертават, че в много от литературните източници, включително и за рансиеита от класическото находище в Рансие, Франция (Perseil, 1967), с наименованието "рансиейт" са описвани нееднородни минерални агрегати, представляващи най-често механични смеси на рансиеит с тодорокит или на тодорокит с други фази.

## Материал и методика

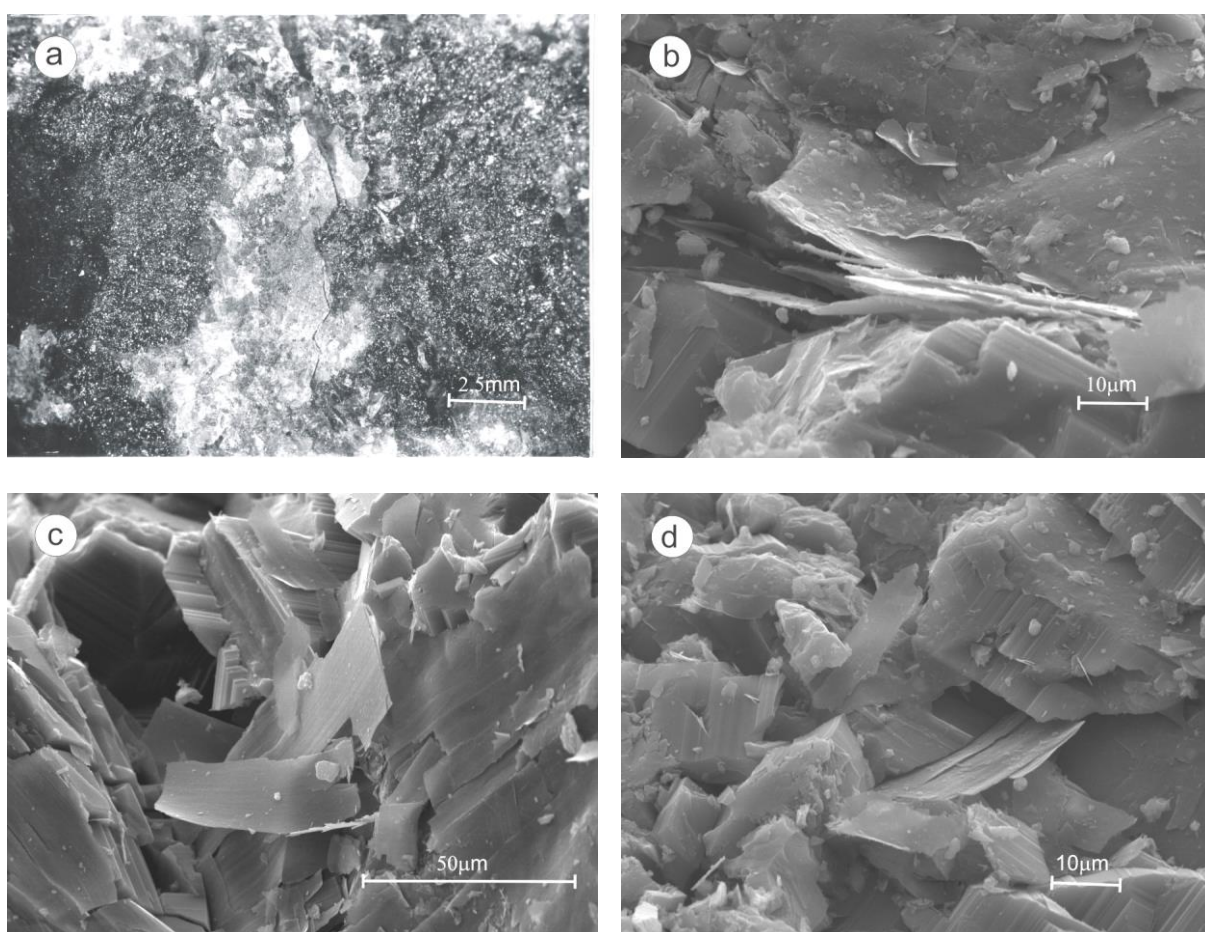
Проведени са електронно-микроскопски изследвания (СЕМ и TEM), оптична микроскопия в отразена светлина, рентгеноструктурни анализи, количествени рентгеноспектрални микроанализи и инфрачервена спектроскопия, за изучаване на морфологичните особености, структурата, химизма и спектроскопските характеристики на рансиеита. Сканираща електронна микроскопия е извършена със сканиращ електронен микроскоп JEOL JSM-T 20 в МГУ "М. В. Ломоносов", Москва, Русия, както и с електронен микроскоп JEOL "Superprobe 733". Трансмисионната електронна микроскопия е проведена за изучаване микроморфологичните особености и хомогенността на минерала, с помощта на трансмисионен електронен микроскоп JEM 100 C с разрешителна способност 7 $\text{\AA}$ , оборудван с гониометър и енергийно-дисперсионна приставка "Kevex 5100". Тя е извършена в ИГЕМ, Москва, Русия. Изследвани са препарати суспензии и са регистрирани електронограми от плоскостта (001) на люспести рансиеитови индивиди и рансиеит-тодорокитови частици. Микроскопските наблюдения в отразена светлина са проведени с микроскоп POLAM-P311. Рентгеноструктурните анализи са осъществени с апарат TUR-M-60 (камера с d=57,3 mm) в МГУ "Св. Иван Рилски". Количествените рентгеноспектрални микроанализи са извършени на сканиращ електронен микроскоп JEOL JSM 35 CF, с рентгенов микроанализатор Tracor Northern TN-2000, във фирма "Евротест-контрол", АД, София. Използвани са следните еталони: за Mn, Fe – чисти метали, за Ca, Mg, Si – диопсид, за K – биотит, за Ba – барит, за Na – албит и за Al – корунд. Инфрачервените спектри на изследваната фаза са регистрирани с двуъчев инфрачервен спектрофотометър UR-10 на фирмата Karl-Zeiss, Jena, в лабораторията по молекулна спектроскопия при ВХМУ, София. Спектрите са заснети в диапазона 400-3800  $\text{cm}^{-1}$ , като са използвани призми съответно от KBr (400-700  $\text{cm}^{-1}$ ), NaCl (700-2000  $\text{cm}^{-1}$ ) и LiF (2000-3800  $\text{cm}^{-1}$ ).

## Резултати и дискусия

### Морфоложки особености

Наличие на рансиент бе установено сред вместващите находището доломитизирани варовици и сред лимонитите. Сред вместващите скали минералът се среща под формата на финолюспести агрегати, отложени по повърхността на прозрачно-бистри ромбоедрични индивиди от супергенен калцит, или проникващи в тях, на места съпътствани от черни, саждести, рентгеноаморфни Mn хидроксиди (фиг. 1а). Асоциацията на рансиента със супергенен калцит е твърде характерна и отбелнявана и от други изследователи (Ertl et al., 2005). Рансиентът образува финолюспести, на места ветриловидно подредени агрегати и кафявочервеникави налепи със

силен блъсък, с големина от порядъка на няколко mm. Характеризира се с ниска твърдост (до 2,5 по Моос) и ниска относителна плътност. Цветът на праха и чертата на минерала е кафявочервен. Рансиент бе наблюдаван и в шупли и празнини в лимонитите, в тясна асоциация с Fe и Mn оксиди и хидроксиди (ѓьотит, лепидокрокит, вторичен хематит, романешит, криптомелан-холандит), супергенен калцит и барит. В някои от изследваните образци е установен примес от тодорокит. Рансиент-тодорокитовите агрегати са с люспеста морфология, отличават се с бронзовозлатисти или сребристосиви оттенъци по повърхността, имат много силен блъсък и най-често са отложени върху коломорфен гьотит. При допир лесно се разрушават.



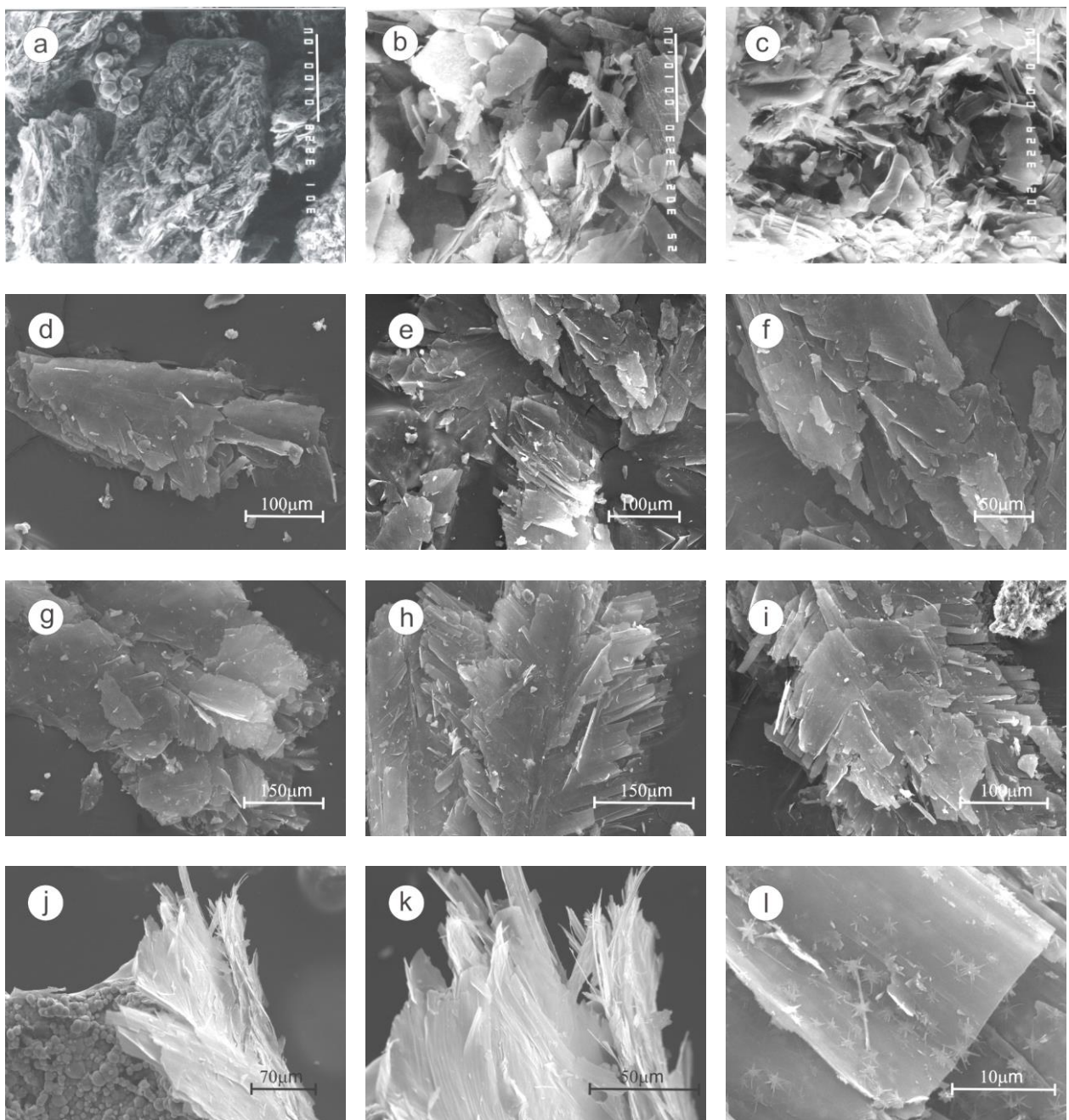
Фиг. 1. Финолюспести рансиентови агрегати и индивиди от находище Кремиковци: а) люспести рансиентови агрегати, отложени върху супергенен ромбоедричен калцит, а на места и върху вместващите орудяването доломитизирани варовици; б, с, д) СЕМ микропотографии на люспести агрегати и индивиди от рансиент, в асоциация със супергенен калцит

При извършената СЕМ се наблюдава люспеста, плочеста морфология на отделните самостоятелни рансиентови индивиди, чиято големина достига до стотина  $\mu\text{m}$ , а дебелината е под 1  $\mu\text{m}$  (фиг. 1 б, с, д). Рансиент - тодорокитовите агрегати показват плочеста, люспеста морфология (фиг. 2 а-i), в някои случаи с много характерна, своеобразна паралелна дезинтеграция на отделни фрагменти, с широчина няколко десетки  $\mu\text{m}$  (фиг. 2 h, i) или влакна, с дебелина под 1  $\mu\text{m}$  (фиг. 2 j, k). Дезинтеграцията на фини влакна с дебелина под 1 до стотни части от  $\mu\text{m}$ , представлява характерна микроморфологична особеност на люспестите тодорокитови

индивиди, отбелнявана от редица изследователи (Чухров и др., 1978, 1989; Ostwald, 1986). Според Straczek et al. (1960) тази микроморфологична особеност е свързана с наличието на свършена цепителност по {001} и {100} в минерала. При по-големи увеличения в СЕМ в някои от изучаваните рансиент-тодорокитови агрегати се установява присъствието на мрежести тройни срастъци от финовлакнести индивиди, образуващи ъгъл от 120° помежду си (фиг. 2 l). Подобни тройни мрежести срастъци от финовлакнести индивиди са наблюдавани и в супензионни препарати в TEM, при изучаването на тодорокит от находището (Василева, Смольянинова, 1996).

Тези сраствъци са много характерни и с диагностично значение за тодорокита (Чухров и др., 1978, 1981, 1985, 1989; Turner, Buseck, 1981; Turner et al., 1982). Някои автори като Post and Bish (1988) считат, че описаните тодорокитови мрежести сраствъци указват за образуването на минерала, за сметка на трансформацията на филомагнанатите бирнесит или бузерит. Други автори (Чухров и др., 1979; Chukhrov et al., 1980) застъпват противоположната теза и смятат, че много често филомагнанатът рансиент се образува в резултат на трансформацията на тодорокит, под въздействието на

повърхностни Ca-съдържащи разтвори, при което се съхраняват морфологичните характеристики на изходната, замествана минерална фаза. Факторите, контролиращи в природни условия фазовите преводи между Mn оксиди със слоиста и тунелен тип структура не са добре изяснени. В лабораторни условия синтетичните филомагнанати (бирнесит), представляващи микропорести материали, се използват като прекурсори за твърдофазов хидротермален синтез на мезопорести материали с тунелен тип структура (тодорокит) (Feng et al., 1999).



Фиг. 2. СЕМ микрофотографии на финолюспести рансиент-тодорокитови агрегати от находище Кремиковци: a) люспести рансиент-тодорокитови агрегати, в асоциация с коломорфен гъйтит в лимонити; b, c, d, e, f, g) люспести рансиент-тодорокитови агрегати; h, i, j, k) Дезинтеграция на рансиент-тодорокитови люспести и плоочести агрегати; l) тройни сраствъци от финовлакнести тодорокитови индивиди, върху плоочести рансиент-тодорокитови агрегати

## Химичен състав

Количествени рентгеноспектрални микроанализи са проведени на видимо хомогенни под микроскоп рансиеитови индивиди и агрегати. Получените резултати показват, че основните компоненти в минерала са представени от Ca и Mn, но се установяват и повишени концентрации на Mg и Ba (табл. 1). Наблюдават се известни вариации в съдържанията на основните компоненти, като преобладаващите съдържания на CaO са в интервала 6,19-7,62%. В единични случаи съдържанието на CaO достига до 10,94%, вероятно поради захващане по време на анализа на част от калцитовата матрица, в която е включен минералът. В литературните източници са описани няколко находки на рансиеит с високо съдържание на Ca (с CaO над 12% – Franus et al., 2000; с CaO=11,9% – Finkelman et al., 1974; с CaO=10,56% – Ertl et al., 2005). Анализираният рансиеит от находище

Кремиковци е твърде сходен по състав с този от Mazzano Romano, Латиум, Италия (Barrese et al., 1986). Последният се отличава с ниска степен на структурна подреденост и дифрактограмите му показват само 3 уширени рефлекси (табл. 2). Наблюдаван е под формата на блестящи, черни, сталактитовидни и коломорфни финови чести агрегати, отложени по стените на пукнатини и кухини в туфи (Barrese et al., 1986).

Кристалохимичните формули на минерала са изчислени на базата на O=9, въз основа на идеализираната формула  $(Ca, Mn)(Mn_4O_9) \cdot 3H_2O$ . Счита се, че манганът в рансиеита е представен главно от  $Mn^{4+}$ , но присъстват и известно количество  $Mn^{3+}$  катиони (в слоевете от  $[MnO_6]$  октаедри) и  $Mn^{2+}$  (в позициите на Ca в междуслойните пространства) (Чухров и др., 1979; Ertl et al., 2005).

Таблица 1

Химичен състав на рансиеит от находище Кремиковци и други находища в чужбина: 1 – рансиеит, Фриезах, Каринтия, Австрия (Ertl et al., 2005); 2 – рансиеит, Шелия, Урал, Русия (Чухров и др., 1979); 3 – рансиеит, Mazzano Romano, Латиум, Италия (Barrese et al., 1986); 4-9 – рансиеит, находище Кремиковци; други\* –  $As_2O_5=0,18\%$ ;  $P_2O_5=0,17\%$ ;  $Cl=0,12\%$ .

Оксиди	Съдържание (тегл. %)								
	1	2	3	4	5	6	7	8	9
$MnO_2$	69,21	76,22	71,90	76,28	76,06	76,86	75,38	75,75	75,05
$Mn_2O_3$	7,08	-	-	-	-	-	-	-	-
$MnO$	0,88	-	-	-	-	-	-	-	-
$CaO$	10,56	8,20	6,11	6,44	6,28	6,43	6,19	7,26	7,62
$MgO$	0,21	-	1,53	2,69	1,93	1,78	1,05	1,18	1,25
$Na_2O$	-	-	0,53	-	-	-	-	-	-
$K_2O$	0,55	0,25	0,86	0,69	0,70	0,52	1,47	0,76	0,53
$BaO$	0,20	-	2,85	2,94	3,98	4,62	3,72	4,07	4,04
$Al_2O_3$	-	0,61	0,14	0,37	-	-	-	-	-
$Fe_2O_3$	0,18	0,15	-	-	-	0,78	0,80	0,64	0,76
$FeO$	-	-	0,06	-	-	-	-	-	-
$SiO_2$	-	0,09	0,41	0,46	0,70	1,01	0,79	0,35	1,75
$TiO_2$	-	-	0,21	-	-	-	-	-	-
други*	-	-	0,47	-	-	-	-	-	-
$H_2O$	11,13	14,48	nd	10,13	10,35	8,00	10,60	9,99	9,00
$\Sigma$	100,00	100,00	85,07	100,00	100,00	100,00	100,00	100,00	100,00

Кристалохимични формули:

4.  $(Ca_{0,53}Mg_{0,31}Ba_{0,09}K_{0,07})_{1,00}Mn^{4+}_{4,02}O_9 \cdot 2,58H_2O$ ; 5.  $(Ca_{0,52}Mg_{0,22}Ba_{0,12}K_{0,07})_{0,93}Mn^{4+}_{4,05}O_9 \cdot 2,66H_2O$
6.  $(Ca_{0,52}Mg_{0,20}Ba_{0,14}K_{0,05}Fe_{0,05})_{0,96}Mn^{4+}_{4,02}O_9 \cdot 2,02H_2O$ ; 7.  $(Ca_{0,52}K_{0,15}Mg_{0,12}Ba_{0,11}Fe_{0,05})_{0,95}Mn^{4+}_{4,05}O_9 \cdot 2,75H_2O$
8.  $(Ca_{0,60}Mg_{0,13}Ba_{0,12}K_{0,07}Fe_{0,04})_{0,96}Mn^{4+}_{4,03}O_9 \cdot 2,56H_2O$ ; 9.  $(Ca_{0,63}Mg_{0,14}Ba_{0,12}K_{0,05}Fe_{0,04})_{0,98}Mn^{4+}_{4,01}O_9 \cdot 2,32H_2O$

## Рентгенографска характеристика и спектроскопски особености на рансиеита

Праховите рентгенови данни на рансиеита от находище Кремиковци (табл. 2) са много близки до тези на рансиеит от находищата Шелия и Акерман, Урал, Русия (Чухров и др., 1979) и са в съответствие с еталонните данни за минерала (JCPDS 22-718). Регистрираните дебаеграми се характеризират с уширени рефлекси, указващи за известна структурна неподреденост. В дебаеграмите на някои от изследваните образци присъства много слабо изразена линия с  $d$  – стойности 4,84 Å, или се установяват линии с 9,6 и 4,84 Å, свидетелстващи за налични примеси от тодорокит. Извършените изследвания показват, че в окислителната

зона на находището освен мономинерални образувания от рансиеит и тодорокит се срещат и фини смеси, с различни количествени съотношения на двата минерала. Електронограми на монокристален рансиеит и на рансиеит, с примеси от тодорокит са показани на фиг. 3.

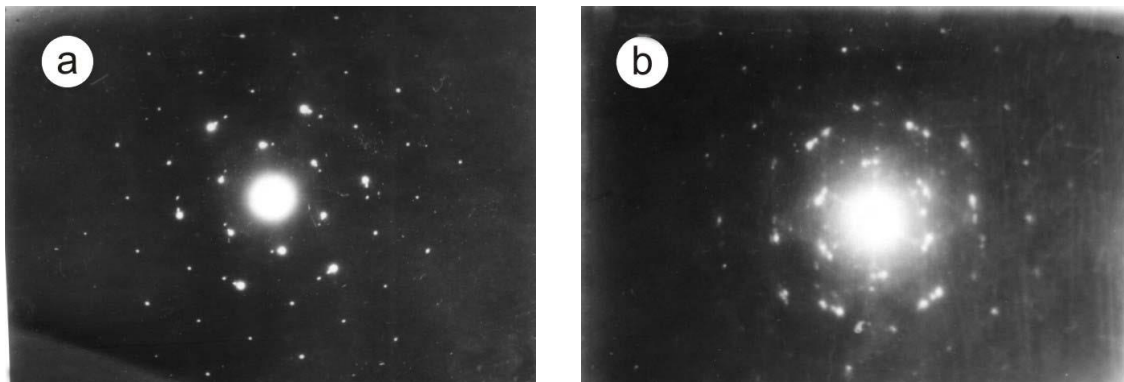
Публикуваните досега в литературата рентгенови данни на минерала, са индексирани на базата на хексагонална елементарна клетка. Ertl et al., (2005) за пръв път описват кристален рансиеит, чиято дебаеграма се отличава с голям брой линии (19) и с помощта на структурни изследвания и Rietveld метод установяват, че изследваният минерал най-вероятно е тригонален.

Таблица 2

Прахови рентгенови данни на рансиенит от находище Кремиковци и други находища в чужбина

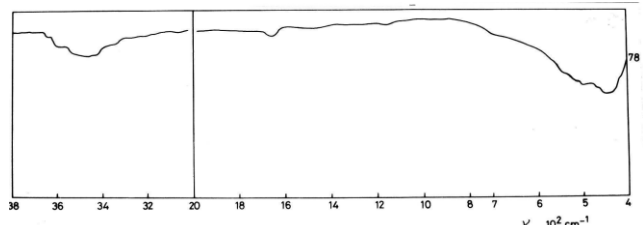
	1	2		3		4		5		6		
hkl	d(Å)	I	d(Å)	I	d(Å)	I	d(Å)	I	d(Å)	I	d(Å)	I
001	7,49	100	7,5	10	7,50	10	7,44	100	7,508	10	7,4	10
002	3,74	14	3,75	8	3,74	8	3,69	37	3,736	8	3,74	7
-	-	-	-	-	-	-	-	-	3,365	3	-	-
100	2,463	10	2,48	7	2,48	7	2,46	22	2,465	4	2,48	6
101	2,342	6	2,36	6	2,35	7	-	-	2,354	6	2,36	6
102	2,064	2	2,08	3	2,07	4	-	-	2,063	2	2,07	3
-	-	-	-	-	-	-	-	-	1,922	1	-	-
103	1,758	2	1,76	4	1,766	4	-	-	1,761	5	1,766	3
-	-	-	-	-	-	-	-	-	1,643	1	-	-
-	-	-	-	-	-	-	-	-	1,495	1	-	-
110	1,425	4	1,427	7	1,433	7	-	-	1,429	2	1,431	6
111	1,397	2	1,400	2	1,400	2	-	-	-	-	1,403	1
-	-	-	-	-	-	-	-	-	1,377	1	-	-
-	-	-	-	-	-	-	-	-	1,284	1	-	-

1. Рансиенит, JCPDS 22-718; 2. Рансиенит, Шелия, Урал, Русия (Чухров и др., 1979); 3. Рансиенит, Акермановско находище, Урал, Русия (Чухров и др., 1979); 4. Рансиенит, Mazzano Romano, Латиум, Италия (Barres et al., 1986); 5. Рансиенит, находище Кремиковци (Радонова и др., 1967); 6. Рансиенит, находище Кремиковци (Василева, Русков, 2006)



Фиг. 3. Електронограми на рансиенит (а) и рансиенит-тодорокитови агрегати (б) от находище Кремиковци

**Инфрачервенят спектър** на рансиенита от находище Кремиковци (фиг. 4) е в съответствие с еталонните спекции на минерала, публикувани от Potter and Rossman (1979). Регистрираният спектър е близък до този на рансиенит от провинция Ориенте, Куба (Potter, Rossman, 1979) и се характеризира с присъствието на една основна ивица на погълщане при  $440\text{-}445\text{ cm}^{-1}$ , по-слабо изразена ивица при  $505\text{ cm}^{-1}$  и рамо при  $685\text{ cm}^{-1}$ . В получения инфрачервен спектър, се наблюдават уширени абсорбционни ивици при  $1660\text{ cm}^{-1}$  и в интервала  $3420\text{-}3540\text{ cm}^{-1}$ , свидетелствуващи за наличието на молекулна вода в минерала. Според Potter and Rossman (1979) в инфрачервените спекции на рансиенита могат да бъдат наблюдавани известни вариации, свързани с различната степен на структурна подреденост. Същите автори подчертават, че в някои случаи инфрачервените спекции на рансиенит и неподредени фази от бирнесит и тодорокит са твърде сходни помежду си, но могат да бъдат разграничени на базата на диагностичната ивица 4, която за рансиенита се изявява като рамо при около  $680\text{ cm}^{-1}$ , докато за другите два минерала тази ивица е съответно при  $750$  и  $760\text{ cm}^{-1}$ .



Фиг. 4. Инфрачервен спектър на рансиенит от находище Кремиковци

### Заключение

Рансиенитът има незначително разпространение в окислителната зона на находище Кремиковци. Минералът се среща в асоциация със супергленен калцит, както и в кухини сред лимонитите, в асоциация с Fe и Mn оксиди и хидроксиди. Рансиенитът представлява късно образувание и най-вероятно е отложен през постплиоценския окислителен стадий от формирането на зоната на

супергенеза. Според Чухров и др. (1979) високото съдържание на нисковалентни Mn катиони, свидетелства за образуването на минерала при известен недостиг на кислород. В лимонитите от находището се срещат мономинерални агрегати от рансиеит и тодорокит, както и фини смеси на двата минерала.

Освен в находище Кремиковци, рансиеит е диагностициран в България в Източното Средногорие, в мanganовото рудопроявление сред горнокредни вулканогенно-седиментни отложения при с. Раклица, Карнобатско. Присъствие на рансиеит в мanganови минерализации свързани с прояви на горнокредна вулканска дейност, може да се очаква и в други райони в страната, а също и в окислените мanganови руди във Варненско. При установяването на такива находки сред вулканити, последните биха представлявали интерес за изследване, с оглед изучаване възможностите за тяхното приложение, като материал за изолация и покрития в хранилищата заadioактивни отпадъци.

## Литература

- Атанасов, В. 1977. Особености на полиметалната минерализация в находище Кремиковци. – В: Проблеми на комплексното използване на кремиковската руда. IV Нац. конф. по черна металургия, С., т. 1, 20-32.
- Василев, Л., Н. Запрянова, Н. Никифоров. 1959. Изследвания върху мanganовите руди и включващи ги комплекс от Варненско. – Год. уние за геол. проучвания, 8, 139-210.
- Василева, М., Б. Банушев. 1994. Върху мanganовата минерализация при с. Раклица, Карнобатско. – Год. МГУ, 40, 1, 79-85.
- Василева, М., В. Смольянинова. 1996. Тодорокит с  $a_0=24.38 \text{ \AA}$  и неподредена разновидност на минерала от находище Кремиковци. – Год. МГУ, 41, 1, 49-54.
- Василева, М., К. Русков. 2006. Минераложки особености на Ca-филомангант (рансиеит) от находище Кремиковци. – Нац. конф. с междунар. участие “Геонауки 2006”, София, 30 ноември – 1 декември 2006 г., Сб. Разширени резюмета, 135-138.
- Канурков, Г. 1988. Железнорудните находища в България. С., Техника, 282 с.
- Радонова, Т. Г., Й. Даскалова, Л. Пунев. 1967. Рансиеит, коронадит и байделит – нови минерали за железорудното месторождение Кремиковци. – Изв. Геол инст., Сер. геохим., минер. и петрограф., 16, 127-133.
- Чухров, Ф. В., А. И. Горшков, А. В. Сивцов, В. В. Березовская. 1978. О структурных разновидностях тодорокита. – Изв. АН СССР, Сер. геол., 12, 86-95.
- Чухров, Ф. В., А. И. Горшков, А. В. Сивцов, В. В. Березовская, Е. С. Рудницкая. 1979. О природе рансиеита. – Изв. АН СССР, Сер. геол., 11, 71-81.
- Чухров, Ф. В., А. И. Горшков, А. В. Сивцов. 1981. Новая структурная разновидность тодорокита. – Изв. АН СССР, Сер. геол., 5, 88-91.
- Чухров, Ф. В., А. И. Горшков, В. А. Дриц, Ю. П. Диков. 1985. О структурных разновидностях тодорокита – Изв. АН СССР, Сер. геол., 12, 61-71.
- Чухров, Ф. В., А. И. Горшков, В. А. Дриц. 1989. Гипергенные окислы марганца. – М., Наука, 208 с.
- Bardossy, G., G. W. Brindley. 1978. Rancieite associated with a karstic bauxite deposit. – Amer. Mineral., 63, 762-767.
- Barrese, E., C. Giampaolo, O. Grubessi, A. Mottana. 1986. Ranciéite from Mazzano Romano (Latium, Italy). – Mineral. Mag., 50, 111-118.
- Banushev, B., M. Vassileva. 1994. New manganese ore showings in the Eastern Srednogorie. – C. R. Acad. Bulg. Sci., 47, 6, 33-36.
- Bish, D. L., D. T. Vaniman, S. J. Chipera, J. W. Carey. 2003. The distribution of zeolites and their effects on the performance of a nuclear waste repository at Yucca Mountain, Nevada, U.S.A. – Amer. Mineral., 88, 1889-1902.
- Chukhrov, F. V., A. I. Gorshkov, E. S. Rudnitskaya, V. V. Beregovskaya, A. V. Sivtsov. 1980. Manganese minerals in clays: a review. – Clays and Clay Miner., 28, 5, 346-354.
- Duff, M. C., M. Newville, D. B. Hunter, P. M. Bertsch, S. R. Sutton, I. R. Triay, D. T. Vaniman, P. Eng, M. L. Rivers. 1999. Micro-xas studies with sorbed plutonium on tuff. – J. Synchrotron Rad., 6 (3), 350-352.
- Ertl, A., F. Pertlik, M. Prem, J. E. Post, S. J. Kim, F. Brandstätter, R. Schuster. 2005. Ranciéite crystals from Friesach, Carinthia, Austria. – Eur. J. Mineral., 17, 163-172.
- Feng, Q., H. Kanoh, K. Ooi. 1999. Manganese oxide porous crystals. – J. Mater. Chem., 9, 319-333.
- Finkelman, R. B., H. T. Evans, J. J. Matzko. 1974. Manganese minerals in geodes from Chihuahua, Mexico. – Mineral. Mag., 39, 549-558.
- Franus, W., A. Manecki, T. Wieser. 2000. Rancieite from clinoptilolite-montmorillonite claystones of the Skole unit (the Polish Flysch Carpathians) – Mineral. Polon., 31, 2, 59-73.
- Kim, S. J. 1991. New characterization of takanelite. – Amer. Mineral., 76, 1426-1430.
- Kim, S. J. 1993. Chemical and structural variations in rancieite-takanelite solid solution series. – N. Jb. Miner. Mh., 5, 233-240.
- Kim, S. J., H. Choi, S. Chang. 2002. Zn analogue of rancieite, a new mineral from the Dongan mine, Korea. – 18th IMA Meeting, Edinburgh, Abstracts, 140.
- Leroux, F., D. Guyomard, Y. Piffard. 1995. The 2D rancieite-type manganic acid and its alkali-exchanged derivates: Part II – Electrochemical behavior. – Solid State Ionics, 80, 3, 307-316.
- Ostwald, J. 1986. Some observations on the chemical composition of todorokite. – Mineral. Mag., 50, 336-340.
- Perseil, E. A. 1967. Nouvelles donneés sur la ranciéite du Rancié. – C. R. Acad. Sci. Paris, 264D, 1241-1244.
- Post, J. E., D. L. Bish. 1988. Rietveld refinement of the todorokite structure. – Amer. Mineral., 73, 861-869.
- Post, J. E., D. R. Veblen. 1990. Crystal structure determinations of synthetic sodium, magnesium, and potassium birnessite using TEM and the Rietveld method. – Amer. Mineral., 75, 477-489.
- Post, J. E. 1999. Manganese oxide minerals: Crystal structures and economic and environmental significance. – Proc. Natl. Acad. Sci. USA, 96, 3447-3454.
- Potter, R. M., G. R. Rossman. 1979. The tetravalent manganese oxides: identification, hydration, and structural

- relationships by infrared spectroscopy. – *Amer. Mineral.*, 64, 1199-1218.
- Straczek, J. A., A. Horen, M. Ross, C. M. Warshaw. 1960. Studies of the manganese oxides. IV. Todorokite. – *Amer. Mineral.*, 45, 11-12, 1174-1184.
- Turner, S., P. R. Buseck. 1981. Todorokites: a new family of naturally occurring manganese oxides. – *Science*, 212, 1024-1027.
- Turner, S., M. D. Siegel, P. R. Buseck. 1982. Structural features of todorokite intergrowths in manganese nodules. – *Nature*, 296, 841-842.
- Woo, S., H. Kim, C. K. Lee, H.-J. Sohn, T. Kang. 2003. Electrochemical characteristics of rancieite-type manganese oxide by mechanochemical synthesis. – *J. Power Sources*, 124, 174-181.

Препоръчана за публикуване от  
Катедра "Геология и проучване на полезни изкопаеми", ГПФ